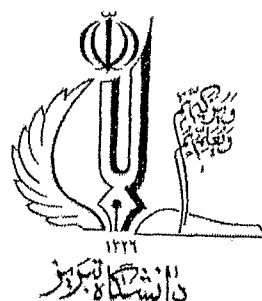


مَنْ يَرْجُوا لِحَافَةَ الْمَوْتِ

W.F.A.T.



دانشکده مهندسی برق و کامپیووتر  
گروه قدرت

پایان نامه  
برای دریافت درجه کارشناسی ارشد در رشته مهندسی برق - قدرت

عنوان  
مدل سازی و شبیه سازی پایدار ساز سیستم قدرت

۱۳۸۸ / ۴ / ۲۲  
اساتید راهنما

دکتر محمد رضا فیضی، دکتر مهرداد طرفدار حق

کمیته اخلاقیات  
دانشکده مهندسی برق

پژوهشگر  
ابراهیم رسولی انارمرزی

بهمن ۱۳۸۷

تقدیم به پدر و مادر مهربان و عزیزم

حافظه خجالت بر آورم بر دوست  
که خدمتی به سزا بر نیامد از دستم))

### تقدیر و تشکر

اکنون که به یاری خداوند بزرگ این پایان‌نامه به اتمام رسیده است بر خود لازم می‌دانم از اساتید گرامیم جناب آقایان دکتر محمدرضا فیضی و دکتر مهرداد طرفدار حق که هدایت این پایان‌نامه را به عهده داشتنده و همچون برادرانی دلسوز، با راهنمایی‌های علمی و حمایت‌های معنوی خود مرا در انجام این پروژه یاری داده‌اند، تشکر و قدردانی نمایم.  
از دوستان عزیزم آقایان مهندس سعید دانیالی، توحید نوری، عباس فروزنده، سیامک مسعودی، مجتبی اکبریان، یاسین رضایی و سایر عزیزانی که در انجام این پروژه مرا یاری کردند،  
كمال تشکر و سپاسگزاری را دارم.

نام خانوادگی دانشجو: رسولی آنارمرزی  
نام: ابراهیم

عنوان پایان نامه: مدل سازی و شبیه سازی پایدار ساز سیستم قدرت

اساتید راهنمای: دکتر محمد رضا فیضی، دکتر مهرداد طرفدار حق

استاد مشاور:-

مقطع تحصیلی: کارشناسی ارشد دانشگاه: تبریز

دانشکده: مهندسی برق و کامپیوتر تاریخ فارغ التحصیلی: بهمن ۱۳۸۷ تعداد صفحات: ۹۴

کلیپ و ازه: پایدار ساز سیستم قدرت، نوسانات فرکانس پایین، میرایی، پایدار ساز سیستم قدرت فازی، کنترلر مرتبه ای فازی.

### چکیده

پایدار ساز سیستم قدرت (PSS) وسیله ای است که با افزودن سیگنال های کمکی به سیستم تحریک، عملکرد دینامیکی سیستم قدرت را بهبود می بخشد. این پایدار ساز معمولا از سیگنال هایی از قبیل سرعت محور، فرکانس و توان پایانه ژنراتور تغذیه می شود و بر عملکرد دینامیکی سیستم قدرت با میرا کردن نوسان های آن، تاثیر مطلوب می گذارد. اشکال اصلی پایدار ساز های مبتنی بر سیگنال  $\Delta\omega$ ، استفاده از فیلتر پیچشی می باشد. برای حل مشکلات بالا از پایدار ساز  $\Delta P + \Delta\omega$  استفاده می شود. مولفه های پیچشی در انتگرال سیگنال  $\Delta P$  خود به خود تضعیف می شود در نتیجه نیازی به فیلتر پیچشی نمی باشد. اما با افزایش  $\delta$  حساسیت  $\Delta P$  به نوسانات کاهش می یابد. در نتیجه باعث کاهش کارایی پایدار ساز  $\Delta P + \Delta\omega$  می شود. یکی از روش های افزایش کارایی این نوع پایدار ساز، پایدار ساز سیستم قدرت چند ورودی با ورودی های  $\Delta P + \Delta\omega + \Delta Q$  است. این روش دارای قابلیت و نقاط ضعفی است. روش های کلاسیک در یک نقطه نامی طراحی و تنظیم می گردند. به علت غیر خطی بودن سیستم قدرت، چنانچه انحراف از نقطه نامی بزرگ باشد، عملکرد پایدار ساز سیستم قدرت بهینه نخواهد بود. برای حل این مشکل از روش های مختلفی استفاده می شود. در این پایان نامه برای حل این مشکل، از روش کنترلر مرتبه ای فازی استفاده شده است. یکی از مشکلات سیستم فازی در حال حاضر تعداد زیاد قوانین و در نتیجه زمان محاسباتی زیاد آن است. در سیستم فازی استاندارد تعداد قوانین به طور نمایی با تعداد متغیرها افزایش می یابد. برای رفع این مشکل، کنترلر های مرتبه ای فازی مطرح گردید. مزیت کنترلر های مرتبه ای فازی افزایش خطی تعداد قوانین با افزایش تعداد متغیرها است. در نتیجه در این پایان نامه از روش پایدار ساز سیستم قدرت چند ورودی مرتبه ای فازی استفاده شده است. بررسی ها بر روی شبکه تست کندور انجام گرفته است. با شبیه سازی پایدار ساز با ورودی های  $\Delta P + \Delta\omega$  و پایدار ساز سیستم قدرت چند ورودی، نتایج حاصل با پایدار ساز سیستم قدرت چند ورودی مرتبه ای فازی مورد تایید قرار گرفته است.

۱		مقدمه
۴		<b>فصل اول: بررسی منابع</b>
۵	۱-۱	مقدمه
۵	۲-۱	انواع پایداری از جهت شدت اختشاش در سیستم قدرت
۵	۲-۲-۱	پایداری مانا
۵	۲-۲-۱	پایداری گذرا
۶	۳-۲-۱	پایداری دینامیکی
۷	۳-۱	اجزای پایدارساز سیستم قدرت (PSS)
۸	۴-۱	انواع ورودی‌های PSS
۸	۱-۴-۱	$\Delta\omega$ براساس PSS
۸	۲-۴-۱	$\Delta P_e$ براساس $\Delta\omega$ و PSS
۹	۳-۴-۱	$\Delta P_e$ براساس PSS
۹	۴-۴-۱	$\int$ براساس PSS
۹	۵-۴-۱	$\Delta P + \Delta\omega + \Delta Q$ براساس PSS
۱۲	۵-۱	انواع روش‌های طراحی PSS
۱۲	۱-۵-۱	روش‌های کلاسیک
۱۲	۲-۵-۱	روش‌های مدرن
۱۲	۳-۵-۱	روش‌های هوشمند
۱۴	۶-۱	نوسانات فرکانس پایین
۱۴	۱-۶-۱	تجلیل یک ژنراتور متصل به شین بینهایت
۱۵	۲-۶-۱	مراحل طراحی PSS برای سیستم تک ماشینه
۱۵	۱-۲-۶-۱	محاسبه فرکانس طبیعی نامیرا
۱۶	۲-۲-۶-۱	جبران‌سازی فاز
۱۶	۳-۲-۶-۱	$K_C$ طراحی گین
۱۶	۴-۲-۶-۱	بلوک پاک‌کننده
۱۷	۳-۶-۱	بررسی MPSS تک ماشینه با استفاده از معادلات فضای حالت
۲۳	۴-۶-۱	سیستم قدرت چندماشینه
۲۹	۷-۱	نتیجه‌گیری
۳۰		<b>فصل دوم: مواد و روش‌ها</b>
۳۱	۱-۲	سیستم‌های تست مورد استفاده در بررسی PSS
۳۱	۲-۲	مدل‌سازی سیستم قدرت
۳۱	۱-۲-۲	معادلات ژنراتور سنکرون

۳۵	۲-۲-۲ مدل‌سازی یک توربین بخار
۴۰	۳-۲-۲ مدل‌سازی گاورنر در توربین بخار
۴۱	۱-۳-۲-۲ مدل‌سازی یک گاورنر مکانیکی-هیدرولیکی
۴۲	۴-۲-۲ مدل‌سازی سیستم تحریک
۴۲	۱-۴-۲-۲ یکسوساز و جبران کننده بار
۴۲	۲-۴-۲-۲ محدود کننده زیر تحریک
۴۲	۳-۴-۲-۲ محدود کننده فوق تحریک
۴۲	۴-۴-۲-۲ محدود کننده ولت بر هرتز
۴۳	۵-۴-۲-۲ پایدارساز سیستم قدرت
۴۳	۶-۴-۲-۲ پایدار کننده سیستم تحریک
۴۳	۷-۴-۲-۲ تنظیم کننده خودکار ولتاژ
۴۳	۸-۴-۲-۲ تحریک کننده
۴۴	۹-۴-۲-۲ مدل‌سازی انواع سیستم‌های تحریک
۴۴	۱۰-۴-۲-۲ الف: مدل‌سازی سیستم تحریک جریان مستقیم
۴۵	۱۱-۴-۲-۲ ب: مدل‌سازی سیستم تحریک جریان متناوب
۴۶	۱۲-۴-۲-۲ ج: مدل‌سازی سیستم‌های تحریک استاتیک
۴۶	۵-۲-۲ مدل‌سازی خط انتقال
۴۷	۳-۲ مجموعه فازی
۴۷	۱-۳-۲ تعاریف اولیه مربوط به منطق فازی
۴۸	۱-۱-۳-۲ مقدار زبانی
۴۸	۲-۱-۳-۲ متغیر زبانی
۴۸	۳-۱-۳-۲ گزاره زبانی
۴۸	۴-۱-۳-۲ گزاره شرطی
۴۹	۲-۳-۲ ساختار کلی کنترل کننده فازی
۴۹	Fuzzification Interface واحد ۱-۲-۳-۲
۵۰	Knowledge Base واحد ۲-۲-۳-۲
۵۰	Decision Making واحد ۳-۲-۳-۲
۵۱	Defuzzification Interface واحد ۴-۲-۳-۲
۵۱	۴-۲ کنترلر مرتبه‌ای فازی
۵۲	۱-۴-۲ انواع ساختارهای روش کنترلر مرتبه‌ای فازی
۵۳	۵-۲ پایدارساز فازی
۵۴	۱-۵-۲ کنترل کننده‌های کلاسیک از گونه فازی
۵۵	۲-۵-۲ کنترل کننده فازی
۵۶	۳-۵-۲ کنترلر مرتبه‌ای فازی
۵۷	۶-۲ نتیجه‌گیری
۵۸	فصل سوم: بحث و نتایج
۵۹	۱-۳ مقدمه

۶۰	بررسی شبکه آزمون مورد مطالعه	۲-۳
۶۰	۱-۲-۳ مدل سیستم قدرت	۱-۲-۳
۶۰	۲-۲-۳ پارامترهای ترانسفورماتورها	۲-۲-۳
۶۱	۳-۲-۳ پارامترهای ژنراتورها	۳-۲-۳
۶۱	۴-۲-۳ پارامترهای بار	۴-۲-۳
۶۲	۵-۲-۳ پارامترهای خط انتقال	۵-۲-۳
۶۲	۶-۲-۳ پایدارساز سیستم قدرت (PSS)	۶-۲-۳
۶۲	۷-۲-۳ سیستم تحریک	۷-۲-۳
۶۳	۸-۲-۳ گاورنر	۸-۲-۳
۶۳	۹-۲-۳ توربین بخار	۹-۲-۳
۶۴	شماتیک کنترلر مرتبه‌ای فازی	
۶۴	۳-۳ طراحی پایدارساز فازی برای سیستم تحت مطالعه	
۶۳	۴-۳ تابع عضویت	
۶۳	۲-۴-۳ پایدارساز فازی مبتنی بر قوانین	
۶۳	۳-۴-۳ غیرفازی سازی	
۶۸	بررسی سیستم بدون PSS	
۶۸	۵-۳ ۱-۵-۳ شبیه‌سازی حالت اغتشاش سیگنال کوچک	
۷۰	۲-۵-۳ شبیه‌سازی اتصال کوتاه در وسط خطوط ارتباطی	
۷۳	بررسی PSS با ورودی $\Delta\varphi + \Delta P$	
۷۳	۶-۳ ۱-۶-۳ شبیه‌سازی حالت اغتشاش سیگنال کوچک	
۷۵	۲-۶-۳ شبیه‌سازی اتصال کوتاه در وسط خطوط ارتباطی	
۷۸	بررسی PSS با ورودی $\Delta\varphi + \Delta P$	
۷۸	۷-۳ ۱-۷-۳ شبیه‌سازی حالت اغتشاش سیگنال کوچک	
۸۰	۳-۷-۳ شبیه‌سازی اتصال کوتاه در وسط خطوط ارتباطی	
۸۳	بررسی HFMPSS و MPSS	
۸۳	۸-۳ ۱-۸-۳ شبیه‌سازی حالت اغتشاش سیگنال کوچک	
۸۶	۲-۸-۳ شبیه‌سازی اتصال کوتاه در وسط خطوط ارتباطی	
۸۹	نتیجه‌گیری	
۹۰	پیشنهادات	
۹۱	منابع مورد استفاده	
۹۲	مراجع	

- ۸ شکل (۱-۱): ساختار PSS
- ۱۰ شکل (۲-۱): ژنراتور متصل به شین بی‌نهایت
- ۱۱ شکل (۳-۱): منحنی تغییرات توان اکتیو و راکتیو نسبت به تغییرات زاویه روتور
- ۱۳ شکل (۴-۱): بلوک دیاگرام کنترلر فازی
- ۱۴ شکل (۵-۱): کنترلر فازی پیشنهادی
- ۱۵ شکل (۶-۱): بلوک دیاگرام سیستم تک ماشینه برای مطالعات نوسانات فرکانس پایین
- ۱۷ شکل (۷-۱): بلوک دیاگرام ژنراتور متصل به شین بی‌نهایت
- ۱۸ شکل (۸-۱): سیستم تحریک با PSS
- ۲۰ شکل (۹-۱): ساختار MPSS
- ۲۰ شکل (۱۰-۱): سیستم مورد آزمایش
- ۲۱ شکل (۱۱-۱): نتایج برای خطای 3LO
- ۲۲ شکل (۱۲-۱): مدل سیستم ۳ ماشینه
- ۲۲ شکل (۱۳-۱): مشخصه  $\delta_{12}$
- ۲۴ شکل (۱۴-۱): بلوک دیاگرام سیستم چند ماشینه برای مطالعات نوسانات فرکانس پایین
- ۳۳ شکل (۱-۲): شمای ژنراتور سنکرون
- ۳۶ شکل (۲-۱): مقطع عرضی یک توربین بخار
- ۳۷ شکل (۳-۱): شکل ساده معادل یک توربین بخار
- ۳۸ شکل (۴-۱): مدل غیرخطی برای یک مرحله توربین بخار
- ۳۹ شکل (۵-۱): یک نمونه از نحوه قرار گرفتن مراحل مختلف توربین و قسمت‌های مختلف
- ۴۰ شکل (۶-۱): یک مدل خطی و ساده برای توربین شکل (۵-۱)
- ۴۰ شکل (۷-۱): یک مدل غیرخطی از توربین شکل (۵-۱)
- ۴۱ شکل (۸-۱): بخش‌های مختلف یک گاوارنر مکانیکی-هیدرولیکی
- ۴۲ شکل (۹-۱): بلوک دیاگرام یک سروموتور، شیر کمکی و گاوارنر

## فهرست شکل‌ها

- ۴۴ شکل (۱۰-۲): بلوک دیاگرام کلی یک سیستم تحریک جریان مستقیم
- ۴۵ شکل (۱۱-۲): مدل کامل پیشنهادی برای بلوک دیاگرام شکل (۱۰-۲)
- ۴۶ شکل (۱۲-۲): بلوک دیاگرام برای سیستم تحریک با جریان متناوب
- ۴۶ شکل (۱۳-۲): نمونه‌ای از سیستم‌های تحریک استاتیک
- ۴۷ شکل (۱۴-۲): مدل خط انتقال
- ۴۹ شکل (۱۵-۲): ساختار یک کنترل‌کننده فازی
- ۴۹ شکل (۱۶-۲): نحوه فازی‌کردن یک داده ورودی
- ۵۲ شکل (۱۷-۲): ساختار کنترلر مرتبه‌ای فازی
- ۵۳ شکل (۱۸-۲): ساختار کنترلر فازی کلاسیک تک لایه
- ۵۳ شکل (۱۹-۲): ساختار کنترلر مرتبه‌ای فازی
- ۵۴ شکل (۲۰-۲): کنترل کننده کلاسیک
- ۵۶ شکل (۲۱-۲): تقسیم‌بندی صفحه فاز به طور فازی
- ۶۰ شکل (۳-۱): سیستم شبیه‌سازی شده
- ۶۲ شکل (۳-۲): شماتیک کلی PSS
- ۶۴ شکل (۳-۳): ساختار کنترلر مرتبه‌ای فازی پایدارساز چند ورودی
- ۶۵ شکل (۴-۳):تابع عضویت
- ۶۹ شکل (۵-۳): تغییرات سرعت روتور ماشین ۱ نسبت به ماشین ۴
- ۶۹ شکل (۶-۳): ولتاژ ترمینال ماشین ۱
- ۷۰ شکل (۷-۳): توان الکتریکی تولیدی ماشین ۱
- ۷۰ شکل (۸-۳): توان اکتیو انتقالی از ناحیه ۱ به ناحیه ۲
- ۷۱ شکل (۹-۳): تغییرات سرعت روتور ماشین ۱ نسبت به ماشین ۴
- ۷۱ شکل (۱۰-۳): ولتاژ ترمینال ماشین ۱
- ۷۲ شکل (۱۱-۳): توان الکتریکی تولیدی ماشین ۱

۷۲	شکل (۱۲-۳): توان اکتیو انتقالی از ناحیه ۱ به ناحیه ۲
۷۳	شکل (۱۳-۳): تغییرات سرعت روتور ماشین ۱ نسبت به ماشین ۴
۷۴	شکل (۱۴-۳): ولتاژ ترمینال ماشین ۱
۷۴	شکل (۱۵-۳): توان الکتریکی تولیدی ماشین ۱
۷۵	شکل (۱۶-۳): توان اکتیو انتقالی از ناحیه ۱ به ناحیه ۲
۷۶	شکل (۱۷-۳): تغییرات سرعت روتور ماشین ۱ نسبت به ماشین ۴
۷۶	شکل (۱۸-۳): ولتاژ ترمینال ماشین ۱
۷۷	شکل (۱۹-۳): توان الکتریکی تولیدی ماشین ۱
۷۷	شکل (۲۰-۳): توان اکتیو انتقالی از ناحیه ۱ به ناحیه ۲
۷۸	شکل (۲۱-۳): تغییرات سرعت روتور ماشین ۱ نسبت به ماشین ۴
۷۹	شکل (۲۲-۳): ولتاژ ترمینال ماشین ۱
۷۹	شکل (۲۳-۳): توان الکتریکی تولیدی ماشین ۱
۸۰	شکل (۲۴-۳): توان اکتیو انتقالی از ناحیه ۱ به ناحیه ۲
۸۱	شکل (۲۵-۳): تغییرات سرعت روتور ماشین ۱ نسبت به ماشین ۴
۸۱	شکل (۲۶-۳): ولتاژ ترمینال ماشین ۱
۸۲	شکل (۲۷-۳): توان الکتریکی تولیدی ماشین ۱
۸۲	شکل (۲۸-۳): توان اکتیو انتقالی از ناحیه ۱ به ناحیه ۲
۸۴	شکل (۲۹-۳): تغییرات سرعت روتور ماشین ۱ نسبت به ماشین ۴
۸۴	شکل (۳۰-۳): ولتاژ ترمینال ماشین ۱
۸۵	شکل (۳۱-۳): توان الکتریکی تولیدی ماشین ۱
۸۵	شکل (۳۲-۳): توان اکتیو انتقالی از ناحیه ۱ به ناحیه ۲
۸۶	شکل (۳۳-۳): تغییرات سرعت روتور ماشین ۱ نسبت به ماشین ۴
۸۷	شکل (۳۴-۳): ولتاژ ترمینال ماشین ۱

۸۷

شکل (۳۵-۳): توان الکتریکی تولیدی ماشین ۱

۸۸

شکل (۳۶-۳): توان اکتیو انتقالی از ناحیه ۱ به ناحیه ۲

۶۰	جدول (۱-۳): پارامترهای ترانسفورماتورها
۶۱	جدول (۲-۳): پارامترهای ژنراتور
۶۱	جدول (۳-۳): پارامترهای بار
۶۲	جدول (۴-۳): پارامترهای خط انتقال
۶۳	جدول (۵-۳): پارامترهای سیستم تحریک
۶۳	جدول (۳-۶): پارامترهای گاورنر
۶۴	جدول (۷-۳): پارامترهای توربین بخار
۶۶	جدول (۸-۳): مجموعه قواعد فازی
۶۶	جدول (۹-۳): مجموعه قواعد فازی

# **مقدمة**

سیستم قدرت یک سیستم غیرخطی است که عملکرد دینامیکی آن تحت تاثیر مجموعه وسیعی از تجهیزات تشکیل‌دهنده آن قرار دارد که، هر یک عکس العمل زمانی و مشخصه متفاوت دارند. در زیرسیستم‌های یک سیستم قدرت، کنترل کننده‌هایی وجود دارند که مستقیماً بر اجزای سیستم قدرت عمل می‌کنند. در یک واحد تولیدی، این کنترل کننده‌ها شامل کنترل‌های چرخاننده اصلی (محرك‌ها) و سیستم تحریک است.

اهداف کنترل کننده‌ها به شرایط کاری و بهره‌برداری از سیستم قدرت بستگی دارد. در حالت نرمال ولتاژ و فرکانس نزدیک مقدار نامی هستند. زمانی که اغتشاشی در سیستم قدرت اتفاق می‌افتد، نوسانات فرکانس پایین در سیستم قدرت ایجاد می‌گردد. اگر گشتاور میراکننده در سیستم کافی نباشد، دامنه این نوسانات افزایش یافته و باعث بروز ناپایداری دینامیکی در سیستم می‌گردد. بنابراین، کنترل کننده‌ها باید سیستم را در کوتاه‌ترین زمان ممکن‌به‌حال نرمال بازگرداند.

روش‌های مختلفی برای افزایش پایداری دینامیکی مطالعه و پیشنهاد شده است که عبارتند از:

الف- استفاده از چند خط انتقال به صورت موازی

ب- استفاده از ادوات FACTS و HVDC

ج- افزودن سیگنال‌های کمکی به سیستم تحریک. کنترل کننده‌ای که این کار را انجام می‌دهد پایدارساز سیستم قدرت نامیده می‌شود.

استفاده از پایدارساز سیستم قدرت به دلیل سادگی ساخت، ارزانی، قابلیت تنظیم و سرعت عمل بالا برای بهبود پایداری دینامیکی متداول‌تر است.

در پایدارساز سیستم قدرت کلاسیک معمولاً از ورودی‌های  $\Delta P$ ،  $\Delta \omega$  و  $\Delta Q + \Delta \omega$  استفاده می‌گردد. در پایدارساز سیستم قدرت چند ورودی، تغییرات توان راکتیو ( $\Delta Q$ ) به پایدارساز سیستم قدرت کلاسیک با ورودی  $\Delta P + \Delta \omega$  اضافه شده و درنتیجه سبب افزایش میرایی و بهبود پایداری سیستم در نوسانات فرکانس پایین برای زوایای روتور  $45^\circ \geq \delta$ ، می‌شود.

روش‌های کلاسیک در یک نقطه نامی طراحی و تنظیم می‌گردند. اما چنانچه انحراف از نقطه نامی بزرگ باشد، عملکرد پایدارساز سیستم قدرت بهینه نخواهد بود. برای حل این مشکل، از روش کنترلر مرتبه‌ای فازی استفاده می‌گردد. مزیت کنترلرهای مرتبه‌ای فازی افزایش خطی تعداد قوانین با افزایش تعداد متغیرها و درنتیجه کاهش قوانین نسبت به روش‌های فازی کلاسیک است. از دیگر موارد بررسی شده در این پایان‌نامه تاثیر پایدارساز سیستم قدرت و انواع ورودی‌های آن بر پایداری نوسانات فرکانس پایین است و با انتخاب مقادیر مناسب برای پارامترهای پایدارساز سیستم قدرت و ورودی‌های مناسب، این نوسانات پایدار شده‌اند.

فصل سوم به ارائه نتایج و پیشنهادات می‌پردازد.

فصل اول

بررسی منابع

## ۱-۱ مقدمه

امروزه بخش اعظم انرژی مصرفی در هر جامعه به صورت انرژی الکتریکی است. سیستم مربوط به تولید، توزیع و مصرف این انرژی به عنوان سیستم قدرت شناخته می‌شود. فرکانس یکی از مشخصه‌های اصلی هر سیستم قدرت است و یکی از شرط اساسی برای انتقال و مبادله توان الکتریکی در شبکه، سنکرون بودن ژنراتورها نسبت به یکدیگر می‌باشد. بر این اساس مفهوم پایداری شبکه قدرت تعریف می‌شود و آن به معنای سنکرون بودن ژنراتورها و تمايل به بازگشت و باقیماندن در شرایط پایدار به دنبال بروز اختشاش در سیستم است.

پایداری دور هر ژنراتور با تعادل بین انرژی تولیدی و مصرفی آن رابطه دارد. از آن‌جاکه سیستم قدرت، یک سیستم متغیر با زمان است و در معرض انواع اختشاشات می‌باشد، با عدم تعادل بین دو انرژی مذکور، نوساناتی در سیستم به وجود می‌آید. بنابراین وجود پایداری سیستم، شرط اساسی تحويل انرژی به مصرف‌کننده و عملکرد مناسب سیستم قدرت است.

## ۱-۲ انواع پایداری از جهت شدت اختشاش در سیستم قدرت

پایداری در سیستم‌های قدرت سه دسته است [۱]:

پایداری مانا، پایداری دینامیکی و پایداری گذرا.

## ۱-۲-۱ پایداری مانا

توانایی سیستم در حفظ پایداری اش پس از یک اختشاش بسیار کوچک پایداری مانا نامیده می‌شود.

## ۱-۲-۲ پایداری گذرا

توانایی سیستم در حفظ پایداری و میراکردن نوسانات پس از یک اختشاش شدید پایداری گذرا ای آن نامیده می‌شود. یک سیستم موقعی در صورت اعمال خطأ پایدار است که متغیرهای آن، وقتی که زمان به سمت بینهایت می‌کند، به مقادیر حالت مانا نزدیک شوند. بررسی پایداری بعد از یک

اغتشاش شدید، مطالعات پایداری گذرا نامیده می‌شوند.

در مطالعات پایداری گذرا، برای شبیه‌سازی یک اغتشاش بزرگ، معمولاً از خطای اتصال کوتاه (سه فاز)، استفاده می‌کنند.

ساده‌ترین روش برای پایداری گذرا، روش قدم به قدم حل معادله دیفرانسیل است. در این روش، معادلات حالت قبل از خطأ، حین خطأ و پس از خطای سیسم با یک روش عددی مناسب حل می‌شوند و تغییرات زوایای بار واحدهای مختلف به دست می‌آیند. اگر تمام زوایای بار پایدار باشند، سیستم پایدار است.

معادلات دیفرانسیل حاکم بر سیستم در اثر بروز خطأ را می‌توان به سه دسته شامل معادلات دیفرانسیل حاکم بر سیستم قبل از خطأ، معادلات دیفرانسیل حاکم بر سیستم حین خطأ و معادلات دیفرانسیل حاکم بر سیستم پس از رفع خطأ تقسیم‌بندی نمود.

### ۳-۲-۱ پایداری دینامیکی

توانایی سیستم در حفظ شرایط جدید پس از نوسانات ایجاد شده با یک اغتشاش کم‌دامنه پایداری دینامیکی نامیده می‌شود. اگر به یک سیستم قدرت چند ماشینه اغتشاش وارد شود فرکانس، زاویه بار و ولتاژ تمام واحدها دستخوش نوساناتی می‌شود که معمولاً در عرض چند ثانیه از بین می‌روند و سیستم در شرایط جدید آرام می‌گیرد. به علت کوچک‌بودن این اغتشاشات می‌توان سیستم را به کمک معادلات دیفرانسیل خطی مدل نمود و مورد مطالعه قرار داد.

نوسانات الکترومکانیکی یک پدیده ذاتی در شبکه‌های قدرت هستند. متداول‌ترین این نوع نوسانات، نوسانات فرکانس پایین از نوع مد محلی است. فقدان میرایی کافی این نوسانات، قابلیت انتقال توان الکتریکی را کاهش می‌دهد. مطالعه این نوسانات در محدوده مطالعات دینامیکی قرار دارد. این نوسانات زمانی رخ می‌دهد که یک ژنراتور یا گروهی ژنراتور که در یک واحد تولید قرار دارند نسبت به بقیه نوسان کنند. حدود فرکانس این نوسانات ۱ تا ۲ هرتز است [۱]. این نوسانات هنگام وجود خطوط ضعیف بین این واحدها و بقیه سیستم خطرناک‌ترند.

در مقابل گشتاور مکانیکی ورودی به ژنراتور، دو گشتاور به صورت مقاوم عمل می‌کنند. نوع اول گشتاور سنکرون کننده ( $T_s$ ) است که با زاویه روتور ارتباط دارد. نوع دوم گشتاور میراکننده ( $T_d$ ) است که تابعی از سرعت روتور می‌باشد. شروط اساسی پایداری سیستم عبارتند از:  $T_s > 0$  و  $T_d > 0$ .  $T_s > 0$  باشد، ژنراتور از حالت سنکرون خارج خواهد شد. هنگامی که  $T_d < 0$  باشد، آنگاه نوسانات فرکانس پایین روی خواهد داد و اگر دامنه این نوسانات افزایش یابد تا حدی که گشتاور سنکرون کننده صفر شود، آنگاه ژنراتور از حالت باز از حالت سنکرون خارج خواهد شد [۲]. روش‌های مختلفی برای افزایش پایداری دینامیکی مطالعه و پیشنهاد شده است که از آن جمله می‌توان به موارد زیر اشاره کرد [۲]:

الف- استفاده از چند خط انتقال به صورت موازی

ب- استفاده از ادوات FACTS

ج- استفاده از پایدارساز سیستم قدرت (PSS<sup>۱</sup>)

د- روش‌های ترکیبی مانند استفاده از پایدارساز سیستم قدرت به همراه ادوات FACTS یا کنترل

گاورنر

از میان روش‌های فوق، روش PSS به دلیل سادگی ساخت، ارزانی، قابلیت تنظیم و سرعت عمل بالا متدالوتر می‌باشد.

### ۳-۱ اجزای پایدارساز سیستم قدرت (PSS)

شکل (۱-۱) تجهیزات بکار رفته در پایدارسازهای سیستم قدرت را نشان می‌دهد که در آن سیگنال PSS از تعدادی سیگنال‌های ورودی مختلفی که در پایانه‌های ژنراتور اندازه‌گیری می‌شود حاصل می‌گردد. کمیت‌های اندازه‌گیری شده از فیلترهای بالاگذر و پایین‌گذر عبور می‌کند. سپس سیگنال فیلترشده از عناصر پیش‌فاز یا پس‌فاز عبور کرده و جابجایی فاز مورد نیاز به دست آمده و در

<sup>۱</sup> Power System Stabilizer